

格子桁の一計算法について

○ 日本大学工学部

〃

〃

学生員

正員

正員

安	達	央
浪	越	勇
五郎丸	英博	

1.はじめに

主桁とI型プレートガーダーを用いた格子桁橋においては、通常、振りを考慮しない解法が行なわれている。しかしながら、格点において、比較的、規模の大きさがセント・プレートを用いて、横桁を結合した場合には、それが、拘束あるいは固定に近い状態となつてゐるものと考えられる。そこで本研究では、そりに対し、固定状態を考へた、曲げ振りを考慮した簡単計算法を提案し、他の計算法と比較し、模型実験を行ない、格子桁橋の力学的諸性状を考へたものである。

使用する解法は、上述の計算法を(Ⅲ)として、他に、(I). 振りを考慮しない解法、(II). 単純振りを考慮した解法、(IV). 他の曲げ振りによる解法の、以上4通りであり、マトリックス変形法により、解析した。

2.基本式

解法(Ⅲ)による場合の、基本式を示す。

部材が曲げ振りを受けた場合、 M_p は、(1)式となり、(1)式を一階微分した(2)式が、曲げ振り理論の微分方程式であり、その際、支承が作用していないと考えるので、 θ_p はゼロとなる。

(2)式を、(i). 両端固定、(ii). 一端固定、他端自由といった条件を入れて、解き、 M_p を求め、これを(1)式へ代入すると M_p は、(3)式となる。

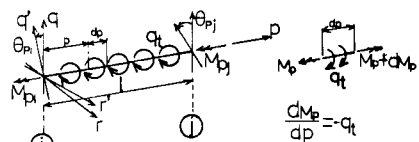


図-1. 部材の曲げ振り状態
 q_t : 等分布振りモーメント
 M_p : 振りモーメント
 $\frac{dM_p}{dp} = q_t$

$$M_p = GJ \frac{d\theta_p}{dp} - EI \frac{d^3\theta_p}{dp^3} \quad \dots \dots (1)$$

$$GJ \frac{d^2\theta_p}{dp^2} - EI \frac{d^4\theta_p}{dp^4} = -q_t = 0 \quad \dots \dots (2)$$

(i). 両端固定の場合

$$M_{p_{ij}} = GJ \frac{1}{1 - \tanh \beta l / 2} \frac{\theta_{pi} - \theta_{pj}}{l}$$

(ii). 一端固定、他端自由の場合

$$M_{p_{ij}} = GJ \frac{\beta l \cosh \beta l}{\beta l \cosh \beta l - \sinh \beta l} \frac{\theta_{pi} - \theta_{pj}}{l} \quad \dots \dots (3)$$

以上より、単純振りの場合の振りモーメント $M_p = GJ \cdot (\theta_{pi} - \theta_{pj}) / l$ において、丁を丁に変えて、解析することが可能となる。よって、図-2を参照して、部材座標系における、断面力と変形量との関係は、(4)式となる。

$$\begin{bmatrix} S_i \\ M_{ri} \\ M_{pi} \\ S_j \\ M_{rj} \\ M_{pj} \end{bmatrix} = \begin{bmatrix} 12EI/l^3 & 6EI/l^2 & 0 & -12EI/l^3 & 6EI/l^2 & 0 \\ 4EI/l & 0 & -6EI/l^2 & 2EI/l & 0 & 0 \\ GJ/l & 0 & 0 & -GJ/l & 0 & 0 \\ 12EI/l^3 & -6EI/l^2 & 0 & 0 & 0 & 0 \\ 4EI/l & 0 & 0 & 0 & 0 & 0 \\ GJ/l & 0 & 0 & 0 & 0 & 0 \end{bmatrix} \begin{bmatrix} q_i \\ \theta_{ri} \\ \theta_{pi} \\ q_j \\ \theta_{rj} \\ \theta_{pj} \end{bmatrix} \quad \dots \dots (4)$$

SYM.

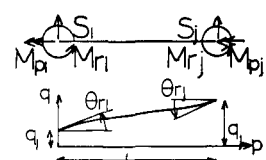


図-2. 断面力及び変形量

3. 模型実験

断面が工型のまゝを使用して、4本主桁、3本横桁 及び 3本主桁、3本横桁の 両実験体について、模型実験を行なう。

実験方法は、荷重 60 Kgf を、4本主桁の場合、格点 1, 2, 13, 17, 18 又、3本主桁の場合、格点 2, 3, 7, 8 へ載荷して行ない、断面力及び変形量を求める。なお、模型実験体の形状は、図-3 に示す。

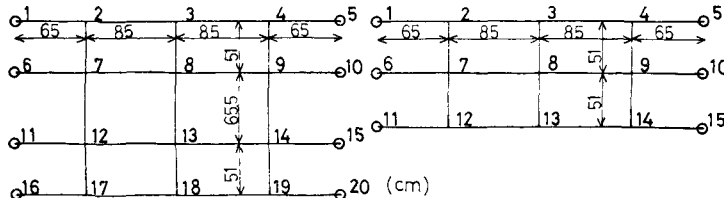
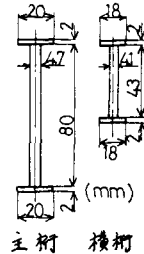


図-3. 4本主桁、3本主桁及び、内桁の断面寸法



4. 実験結果及び考察

たわみ、たわみ角、捩り角、及び曲げモーメントにおいては、各解法の値は、ほぼ一致し、又、実験値も、これらに近い値を示すことが判明したが、捩りモーメントにおいては、違いがみられた。

図-4 は、4本主桁の場合の、載荷点が 12 における捩りモーメント図であり、図-5 は、3本主桁の場合の、載荷点が 3 における捩りモーメント図である。

図より、4本主桁の場合、実験値は、主桁において解法(Ⅲ)、(Ⅳ)近く、横桁において解法(Ⅳ)、(Ⅴ)近くの値を示し、又、3本主桁の場合、実験値は、主桁において解法(Ⅲ)、(Ⅳ)近く、横桁において、比較的解法(Ⅲ)、(Ⅳ)近くの値を示すことが判明した。これらの傾向は、載荷点が、他の格点においても、同様であり、横桁は、特に、解法(Ⅳ)、(Ⅴ)近くの値を示す傾向にある。

5. 結語

本研究を通して得られた結論は、以下の様である。

- (1). 曲げモーメント及び各変形量では、実験値及び各解法は、ほぼ一致する。
- (2). 漉りモーメントでは、実験値は、主桁では解法(Ⅲ)、(Ⅳ)、横桁では解法(Ⅳ)、(Ⅴ)、比較的近い傾向にある。
- (3). 上記(1)、(2)より、主桁に関しては、本研究で提案した簡易計算法が、比較的適し、横桁に関しては、剛結の状態に近い計算法が、適しているものと考えられる。

参考文献

- 1).構造部材の捩り解析 (高岡宣善著、共立出版)
- 2).骨組構造解析 (成岡昌夫、服部正、加藤進、後藤茂夫、上田幸雄 共著、培風館)
- 3).「変形法による任意形状の等肉断面格子桁の解析」(鷹羽信勝、成岡昌夫 土木学会論文報告集178号)

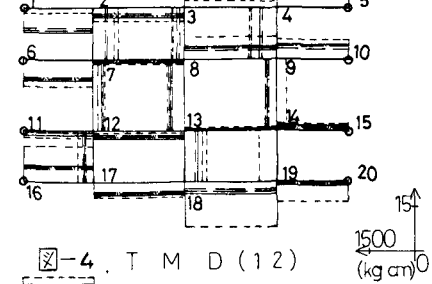


図-4. T.M.D (12) (kg cm)

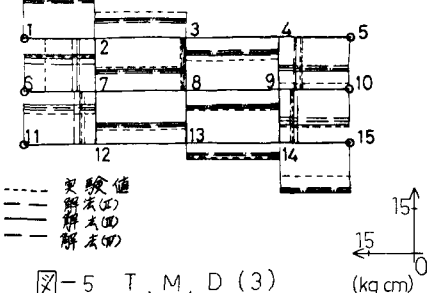


図-5 T.M.D (3) (kg cm)